
СИСТЕМНЫЙ АНАЛИЗ, МАТЕМАТИЧЕСКОЕ МОДЕЛИРОВАНИЕ

12. *Bougeard, D.* Vibrational spectra and dynamics of crystalline malonic acid at room temperature / D. Bougeard, J. Villepin, A. Novak // Spectrochimica Acta. – 1988. – Vol. 44A, № 12. – P. 1281–1285.
13. *Frisch, M. J.* Caussian 03. Revision B.03 / M. J. Frisch, G. W. Trucks, H. B. Schlegel et al. – Pittsburgh PA : Gaussian Inc., 2003.
14. *Merchan, M.* An ab initio study of intermolecular hydrogen bonding. I malonic acid and its mono-anion / M. Merchan, F. Tomas, I. Nebot-Gil // J. Molecular Structure. – 1984. – Vol. 109. – P. 51–60.
15. *Tarakeshwar, P.* Conformation and vibrations of dicarboxylic acids. An ab initio study / P. Tarakeshwar, S. Manogaran // J. Molecular Struct. – 1996. – Vol. 362. – P. 77–99.

УДК 539.193/.194;535/33.34

КОМПЬЮТЕРНОЕ МОДЕЛИРОВАНИЕ ГЕОМЕТРИЧЕСКОЙ СТРУКТУРЫ И КОЛЕБАТЕЛЬНЫХ СОСТОЯНИЙ ПОЛИФЕНИЛОВ

**М.Д. Элькин, Е.Ю. Степанович,
Е.А. Джалимхамбетова, И.И. Гордеев**

В рамках функционала плотности DFT/B3LYP проведен теоретический анализ конформационной структуры и колебательных спектров ряда полифенилов: нафталина, 1,4-нафтохинона, нафтазарина, спиназарина. Показана возможность образования внутримолекулярной водородной связи в соединениях.

Ключевые слова: колебательные спектры, коформация, нафталин, нафтохинон, нафтазарин, спиназарин, водородная связь.

Key words: vibrational spectra, spinasarine, internal hydrogen bonding.

Соединения, содержащие нафтозариновый фрагмент, известны как биологически активные соединения и лекарственные препараты. Отметим среди них эхинохром – субстанцию кардиологического и офтальмологического запатентованного препарата [11], а также спиназарин, этил-спиназарин, этилмомпайн, этилизомомпайн. Эксперимент для них (ЯМР, масс-спектрометрия, ИК-спектры) крайне ограничен и не дает возможности построить структурно-динамические модели указанных соединений, как это принято в молекулярной динамике. Реальный выход из положения – привлечь неэмпирические методы квантовой механики молекул (квантовой химии) [3–5], как это продемонстрировано, к примеру, в монографии [6]. Для предсказательных расчетов геометрической структуры и колебательных состояний циклических и полициклических соединений предпочтение следует отдать методу функционала плотности DFT/B3LYP/+G(d,p) [12]. Достоверность получаемой информации может быть подтверждена хорошим совпадением экспериментальных и расчетных данных по геометрической и электронной структуре тех соединений нафтозаринового ряда, для которых имеется надежная интерпретация колебательных спектров, отражающая внутримолекулярную динамику соединений. К числу таких соединений относятся 1,4-нафтохинон, нафтазарин. Для полноты подобного исследования имеет смысл начать с известного полифенила – нафталина, соединения, колебательные спектры которого хорошо изучены как теоретически, так и экспериментально. В этом случае можно вести речь о влиянии различных заместителей на структуру сопряженных ароматических колец соединений полифенилового ряда [11].

ПРИКАСПИЙСКИЙ ЖУРНАЛ: управление и высокие технологии № 4 (8) 2009

При решении подобной задачи возникают вопросы учета ангармонических резонансов, оценки влияния межмолекулярного взаимодействия, выбора конформационных моделей [1]. Это традиционные задачи молекулярного моделирования.

Построение структурно-динамических моделей соединений. Решение механической ангармонической задачи осуществлялось в рамках адиабатической теории возмущения второго порядка [2], модельный гамильтониан которой имеет вид

$$H^{(v)} = \frac{1}{2} \left[P_i^2 + (\omega_i Q^i)^2 \right] + [F_{ijk} Q^i Q^j Q^k] + [F_{ijkl} Q^i Q^j Q^k Q^l] \quad (1)$$

Решением уравнения (1) является известное выражение

$$E^{(v)} = \omega_i (v_i + 1/2) + \chi_{ij} (v_i + 1/2)(v_j + 1/2)(1 + \delta_{ij}/2) \quad (2)$$

Здесь ω_i – частоты гармонических колебаний, v – колебательные квантовые числа, χ_{ij} – ангармонические постоянные, которые позволяет оценить информационная технология Gaussian – 3 [12]. При отсутствии ангармонических резонансов сдвиг полос фундаментальных колебаний определяется ангармоническими поправками [9, 10]:

$$X_{ii} = \frac{9}{4} \chi_{ii}; \quad X_i = \frac{3}{4} \sum_r \chi_{ir} \quad (3)$$

Структура исследуемых соединений представлена на рисунке.

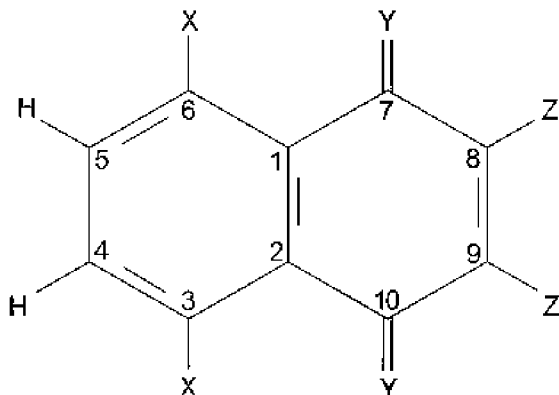


Рис. Структурная формула полифенилов: нафталин (X,Y,Z=H); 1,4-нафтахинон (X,Z=H; Y=O); нафтазарин (X=OH; Y=O; Z=H); спиназарин (X,Z=OH; Y=O)

Результаты оптимизации геометрии для полифенильных циклов сопоставлены с имеющимися экспериментальными данными в таблице 1. Расхождение с длинами связей бензольного кольца достигает 0,8 Å, искажение углов не превышает 2,5°. Длина связи C=O в 1,4-нафтохиноне, нафтазарине, спиназорине равны соответственно 1,22, 1,24, 1,25 Å. Валентные углы между этими связями и кольцевыми попадают в диапазон 117–123°. Длины связей гидроксильных групп в спиназарине ~ 1,32 Å, углы меняются в диапазоне 104,9–106,9°. Влияние атомного базиса оказывается во втором знаке мантиссы для валентных углов и третьем для валентных связей. Отметим, что нафталин имеет группу симметрии D_{2h}, остальные соединения имеют симметрию C_{2v}.

СИСТЕМНЫЙ АНАЛИЗ, МАТЕМАТИЧЕСКОЕ МОДЕЛИРОВАНИЕ

Таблица 1

**Геометрические параметры фенильных циклов нафталина ($C_{10}H_8$),
1,4-нафтохинона ($C_{10}H_6O_2$), нафтазарина ($C_{10}H_6O_4$) и спиназарина ($C_{10}H_6O_6$)**

Связи углы	$C_{10}H_8$		$C_{10}H_6O_2$		$C_{10}H_6O_4$	$C_{10}H_6O_6$
	Эксп.[11]	Расчет	Эксп[14]	Расчет	Расчет	Расчет
R(1,2)	1,41	1,43	1,41	1,41	1,42	1,43
R(1,6)	1,41	1,42	1,39	1,40	1,40	1,40
R(1,7)	1,43	1,42	1,47	1,49	1,46	1,46
R(3,4)	1,36	1,37	1,38	1,39	1,42	1,42
R(4,5)	1,42	1,41	1,4	1,40	1,37	1,37
R(7,8)	1,36	1,37	1,48	1,48	1,48	1,47
R(8,9)	1,42	1,41	1,34	1,34	1,34	1,36
A(2,1,6)	119,3	118,8	119	119,81	119,9	120,1
A(2,1,7)	119,3	118,8	121	120,61	120,8	119,6
A(2,3,4)	120,3	120,9	120	120,02	119,1	119,1
A(3,4,5)	120,5	120,3	121,2	120,16	120,9	120,8
A(1,7,8)	120,3	120,9	118	117,08	117,7	119,7
A(7,8,9)	120,5	120,3	122	122,31	121,9	120,6

Таким образом, если рассматривать 1,4-нафтохинон, нафтазарин и спиназорин как кислородозамещенные нафталины, то изменение геометрической структуры сопряженных фенильных колец не оказывает существенного влияния на кинематическую часть модельного гамильтонiana.

В смещении колебательных полос доминирующую роль играют кинематические параметры (массы атомов и длины валентных связей) и электродонорные свойства заместителей, каковыми являются атом кислорода или гидроксильная группа. Для этого необходимо сопоставить результаты модельных расчетов колебательных спектров соединений. Такие данные представлены в таблицах 2, 3.

Таблица 2

Интерпретация спектра фундаментальных колебаний полифенилов

Тип Сим.	1,4-нафтохинон					Нафталин					
	Форма	$\nu_{\text{эксп}}$	$\nu_{\text{Г}}$	$\nu_{\text{М}}$	ИК	КР	Форма	$\nu_{\text{эксп}}$	$\nu_{\text{Г}}$	$\nu_{\text{анг}}$	I
A1	$Q_{C=O}$	1685	1736	1678	14,1	213	q_{CH}	3031	3164	3029	265
A1	Q,β	1604	1667	1612	29,3	8,74	Q,β,γ	1624	1671	1629	7,97
A1	Q,β	1560	1614	1562	0,34	6,00	Q,β,γ	1577	1613	1576	31,7
A1	$\beta_{C=O}$	372	375	367	14,6	2,22	Q,β,γ	1460	1491	1467	61,8
A1	Q,β	1460	1506	1459	0,32	0,31	Q,β,γ	1438	1492	1464	3,21
A1	Q,β	1325	1359	1318	12,2	1,53	Q,β,γ	1376	1398	1364	158
A1	Q,β	1292	1313	1274	259	30,3	Q,β,γ	1239	1270	1247	3,97
A1	β	1159	1186	1152	0,18	9,57	Q,β,γ	1158	1172	1155	8,91
A1	β	1144	1162	1129	30,0	49,0	Q,β,γ	1145	1185	1171	1,44
A1	β	1052	1070	1040	17,2	7,81	Q,β,γ	1025	1046	1033	32,6
A1	Q	1021	1035	1007	38,6	22,3	Q,β,γ	938	951	939	0,01
A1	γ_{CCC}	692	703	686	1,51	8,96	Q,β,γ	758	773	761	38,1
A1	γ_{CCC}	555	555	542	13,7	11,6	γ	512	520	515	15,9
A1	γ_{CCC}	449	452	442	7,47	7,66	γ	506	519	513	8,54

ПРИКАСПИЙСКИЙ ЖУРНАЛ:
управление и высокие технологии № 4 (8) 2009

A2	ρ_{CH}	—	1030	1002	0,00	0,40	ρ, χ	970	993	979	0,00
A2	ρ_{CH}	—	1026	998	0,00	0,15	ρ, χ	958	974	965	3,02
A2	ρ_{CH}	—	930	905	0,00	1,50	ρ, χ	848	849	830	0,00
A2	$\rho_{\text{C=O}}$	810	828	807	0,00	0,58	ρ, χ	782	798	787	114
A2	χ	—	702	685	0,00	1,39	ρ, χ	581	635	627	0,00
A2	χ	—	480	469	0,00	1,15	ρ, χ	476	488	479	21,7
A2	χ	269*	267	262	0,00	1,31	χ	195	186	181	0,00
A2	xx	—	124	122	0,00	1,93	χ	170	174	172	2,59
B1	ρ_{CH}	982	1008	980	0,64	0,03	ρ, χ	980	1000	981	0,07
B1	ρ_{CH}	860	886	863	25,7	1,18	ρ, χ	943	957	946	0,37
B1	$\rho_{\text{C=O}}$	615	617	603	2,90	5,13	ρ, χ	878	897	883	2,08
B1	ρ_{CH}	769	784	764	83,5	0,04	ρ, χ	782	787	774	1,72
B1	χ	414*	421	412	0,76	0,28	ρ, χ	717	729	717	1,55
B1	ρ_{CC}	—	187	184	0,04	1,63	χ	461	480	472	0,15
B1	χ	—	84	82	10,81	0,13	χ	386	396	387	2,65
B2	$Q_{\text{C=O}}$	1675	1741	1683	336	0,22	q_{CH}	3032	3160	3028	1,04
B2	Q, β	1586	1634	1581	61,1	62,3	Q, β, γ	1592	1641	1604	4,88
B2	Q, β	1454	1486	1439	0,02	2,21	Q, β, γ	1506	1549	1513	9,08
B2	Q, β	1374	1389	1347	2,76	20,0	Q, β, γ	1387	1418	1390	5,08
B2	$\beta_{\text{C=O}}$	598*	600	586	0,05	1,30	Q, β, γ	1361	1391	1364	1,47
B2	Q, β	1296	1306	1268	1,51	5,98	Q, β, γ	1267	1287	1277	7,04
B2	β	1224	1250	1214	0,07	5,91	Q, β, γ	1210	1232	1214	1,17
B2	Q, β	1113	1133	1101	10,4	1,44	Q, β, γ	1138	1169	1152	0,88
B2	γ	1058	1076	1046	4,91	0,34	Q, β, γ	1128	1151	1135	4,78
B2	γ	774*	793	773	0,01	0,12	Q, β, γ	1011	1036	1018	7,07
B2	γ	750	766	746	3,77	1,49	Q, β, γ	753	809	799	0,21
B2	γ	449*	452	442	0,07	0,66	γ	618	636	630	3,45
B2	γ	269	268	262	0,21	2,61	γ	359	366	366	1,41

Таблица 3

Интерпретация колебательных состояний нафтазарина

Форма	$v_{\text{ЭКС}}$	$v_{\text{Г}}$	$v_{\text{М}}$	ИК	КР	Форма	$v_{\text{ЭКС}}$	$v_{\text{Г}}$	$v_{\text{М}}$	ИК	КР
Тип симметрии А1						Тип симметрии В2					
q_{OH}	3080	3308	3154	147	255,	q_{OH}	3080	3313	3159	39,9	15,5
q_{CH}	3065	3204	3058	2,12	222	q_{CH}	3080	3190	3046	1,47	92,4
q_{CH}	3040	3196	3051	4,86	237	q_{CH}	3065	3179	3035	0,65	96,1
$Q, Q_{\text{C=O}}$	1651	1706	1650	5,32	152	$Q_{\text{C=O}}$	1617	1668	1614	459	0,28
Q, β	1599	1646	1592	1,32	67,1	Q, β_{OH}	1581	1629	1576	16,3	55,7
$Q_{\text{C=O}}, \beta_{\text{OH}}$	1564	1617	1565	174	42,7	β, β_{OH}	1448	1495	1448	276	0,39
β_{OH}, Q	1457	1513	1466	0,13	50,0	$\gamma, \beta_{\text{OH}}$	1396	1421	1378	108,	26,6
Q, β	1409	1438	1394	25,9	224	—	—	—	—	—	—
Q, β_{OH}	1325	1381	1339	171	2,76	$\gamma, \beta_{\text{OH}}$	1343	1388	1346	107	0,60
Q_{CO}	1262	1316	1277	47,9	26,9	Q_{CO}	1303	1349	1308	10,9	5,39
Q, β	1227	1251	1215	100	144	β	1239	1259	1222	230	2,51
B	1144	1160	1128	98,3	21,5	β	1092	1110	1079	3,02	3,97
B	1097	1112	1081	41,2	28,5	Q, γ	943	960	935	15,4	0,02
Q	948	962	936	0,57	32,7	γ	762	773	753	3,80	0,03
Q	622	622	607	13,7	52,4	γ	720	739	721	4,18	1,44

СИСТЕМНЫЙ АНАЛИЗ, МАТЕМАТИЧЕСКОЕ МОДЕЛИРОВАНИЕ

$\gamma, \beta_{C=O}$	465	463	452	41,8	10,7	$\beta_{CO}, \beta_{C=O}$	622	645	630	13,2	0,07
Γ	456	471	460	1,86	20,6	$\beta_{CO}, \beta_{C=O}$	490	502	491	9,76	2,36
γ, β_{CO}	421	427	417	0,05	0,81	γ	408	399	0,58	7,27	
β_{CO}	—	359	351	0,05	3,40	γ	294	288	4,60	0,34	
Тип симметрии A2						Тип симметрии B1					
ρ_{CH}	—	1023	995	0,00	0,29	ρ_{OH}	871	883	860	102	1,29
ρ_{CH}	—	980	954	0,00	0,00	ρ_{CH}	820	859	836	0,01	1,17
ρ_{OH}	820	846	825	0,00	1,77	ρ_{CH}	824	839	818	147	0,78
$\rho_{C=O}, \chi$	780	783	764	0,00	1,31	$\rho_{CO}, \rho_{C=O}$	622	646	631	23,5	1,52
ρ_{CO}, χ	—	707	690	0,00	0,82	$\rho_{CO}, \rho_{C=O}$	553	551	538	0,99	0,68
ρ_{CC}	465	471	461	0,00	2,09	ρ_{CC}	—	187	184	0,07	0,41
χ	—	373	365	0,00	0,81	χ	—	177	173	0,02	0,71
χ	—	293	287	0,00	1,49	χ	—	106	104	5,60	0,03
$\chi\chi$	—	115	113	0,00	0,06	—	—	—	—	—	—

Примечание. Частоты колебаний в см^{-1} , Интенсивности в ИК-спектрах в км/моль, в КР-спектрах в $\text{\AA}^4/\text{а.е.м.}$

Сопоставление результатов представленных в приведенных выше таблицах с имеющимися экспериментальными данными (в конденсированном состоянии [7, с. 13–16]) по колебательным спектрам соединений позволяет сделать следующие выводы.

1. Используемый метод DFT позволяет осуществить надежную интерпретацию фундаментальных колебательных состояний и хорошо согласуется с отнесением частот, предложенным в работах [7, с. 13–16]. Имеющиеся отдельные расхождения можно объяснить тем, что эксперимент проведен для кристалла или расплава, а квантовые расчеты соответствуют свободной молекуле. Тем не менее в 1,4-нафтохиноне удалось интерпретировать полосы в низкочастотном диапазоне (помечено *). Использование ангармонического приближения теории молекулярных колебаний существенно улучшает согласие с экспериментом. Особенно это касается валентных и деформационных колебаний связей CH и OH.

2. Замена атомов водорода кислородом в параположении одного фенильного кольца (переход от нафтилина к 1,4-нафтохинону) существенно сказывается на плоских деформационных колебаниях углеродного каркаса–сопряженных фенильных колец (γ) и неплоских крутильных колебаниях (χ). Особенno это касается несимметричных колебаний. Для диапазона выше 1150 см^{-1} смещение полос, интерпретированных как валентные колебания связей CC и деформационные колебания связей CH, не претерпевает существенного изменения, однако заметно отличаются интенсивностью. Напомним, что для нафтилина, имеющего симметрию D_{2h} (у молекулы есть центр симметрии), имеет место правило альтернативного запрета на интенсивности [7] – колебания типов симметрии $A_g, B_{1g}, B_{2g}, B_{3g}$ проявляются в КР-спектрах, $A_u, B_{1u}, B_{2u}, B_{3u}$ в ИК-спектрах ($A1 \sim A_g + B_{3g}, B2 \sim B_{1u} + B_{2u}, A2 \sim A_u + B_{3u}, B1 \sim B_{1g} + B_{2g}$).

3. Замена атомов водорода в параположениях второго сопряженного шестичленного цикла 1,4-нафтохинона на гидроксильные группы приводит к молекуле нафтазарина. При этом частота валентного колебания связи O-H снижается более чем на 300 см^{-1} по сравнению с соответствующей частотой гидроксильной группы в спиназарине [10], что может иметь место при наличии внутримолекулярного взаимодействия с атомом кислорода соседнего кольца. Действительно, результаты оптимизации геометрии нафтазарина для связи O-H---O=C (между фрагментами X=OH и Y, см. рис.) дают значение $1,7 \text{ \AA}$ ($R_{O-H} = 1,74 \text{ \AA}$ в спиназарине [10]), что характерно для водородных связей. Прослеживается характеристичность полос валентных колебаний связи C=O по частоте ($\sim 1680 \text{ см}^{-1}$ в 1,4-нафтохиноне, $\sim 1650 \text{ см}^{-1}$ и $\sim 1620 \text{ см}^{-1}$ в нафтазарине) и сильных по интенсивности в ИК-спектрах для антисимметрич-

ПРИКАСПИЙСКИЙ ЖУРНАЛ: **управление и высокие технологии № 4 (8) 2009**

ных колебаний (тип B2) и в КР-спектрах для симметричных (тип A1). Указанные полосы могут быть использованы для идентификации соединений. Характер поведения остальных полос таким качеством не обладает. Более того, полосы, интерпретированные как валентные (Q_{CO}) и деформационные (β_{OH}) колебания гидроксильного фрагмента попадают в диапазон (1250–1580 см^{-1}) валентных колебаний связей фенильных колец и деформационных колебаний связей CH. Здесь имеет место делокализация форм нормальных колебаний, что характерно для указанного диапазона и в нафталине (Q, β, γ). Этот факт подтверждается и расчетами, представленными в монографии [7].

4. Замена двух атомов водорода гидроксильными группами в положениях Z (рис.) приводит к молекуле спиназарина. Для этого соединения имеются экспериментальные данные лишь для полос в области выше 1600 см^{-1} , поэтому квантовомеханические расчеты носят предсказательный характер. В работе [16] представлены такие расчеты, выполненные в различных атомных базисах. Характерным являются сильная интенсивность валентных колебаний связей OH гидроксильной группы в положении Z (рис.). Согласно расчетам для симметричного колебания этот факт имеет место в КР-спектре, для антисимметричного колебания – в ИК-спектре. Частоты колебаний, согласно квантовым расчетам, практически не разделяются ($v_m \sim 3450\text{--}3452 \text{ см}^{-1}$). Как и в нафтазарине, валентные колебания связей CO деформационные колебания гидроксильных групп (β_{OH}) спиназарина попадают в диапазон деформационных колебаний полифенильного остова.

5. Полученную оценку гармонического силового поля следует считать достоверной, операцию масштабирования частот – качественной оценкой ангармоничности колебаний. Возможности неэмпирических квантовых методов позволяют избавиться от процедуры масштабирования гармонических силовых полей и осуществлять расчеты данного класса соединений в ангармоническом приближении теории молекулярных колебаний.

Для данного класса соединений методы функционала плотности DFT/B3LYP позволяют осуществить предсказательные расчеты геометрической структуры молекул, конформационных свойств различных по своей функциональности молекулярных фрагментов, дать интерпретацию фундаментальных колебательных состояний. Модельные расчеты позволяют проанализировать наличие внутримолекулярного взаимодействия, выяснить его механизм и характер проявления в колебательных спектрах, выявить полосы для спектральной идентификации соединений.

Библиографический список

1. **Бабков, Л. М.** Спектроскопия молекулярных кристаллов с водородными связями / Л. М. Бабков, Г. А. Пучковская, С. П. Макаренко, Т. А. Гаврилко. – Киев : Наукова думка, 1989. – 159 с.
2. **Браун, П. А.** Введение в теорию молекулярных спектров / П. А. Браун, А. А. Киселев. – Л. : Наука, 1983. – 342 с.
3. **Кон, В.** Электронная структура вещества – волновые функции и функционалы плотности // УФН. – 2002. – Т. 172, № 3. – С. 336–348.
4. **Минкин, В. И.** Теория строения молекул / В. И. Минкин, Б. И. Симкин, Р. М. Мендеев. – Ростов н/Д : Феникс, 1997. – 386 с.
5. **Попл, Дж. А.** Квантово-химические модели / Дж. А. Попл // УФН. – 2002. – Т. 172, № 3. – С. 349–356.
6. **Пулин, В. Ф.** Исследование динамики молекулярных соединений различных классов / В. Ф. Пулин, М. Д. Элькин, В. И. Березин. – Саратов : СГТУ, 2002. – 548 с.
7. **Свердлов, М. А.** Колебательные спектры многоатомных молекул / Л. М. Свердлов, М. А. Коннер, Е. П. Крайнов. – М. : Наука, 1970. – 560 с.
8. **Элькин, П. М.** Информационная технология «Gaussian» и структурно-динамические модели серосодержащих соединений / П. М. Элькин, Е. А. Эрман, А. Б. Осин // Вестник СГТУ. – 2009. – № 2 (39), вып. 2. – С. 114–120.

СИСТЕМНЫЙ АНАЛИЗ, МАТЕМАТИЧЕСКОЕ МОДЕЛИРОВАНИЕ

9. Элькин, П. М. Квантовохимический расчет нормальных колебаний молекул пятичленных налькоген-гетероциклических соединений с учетом ангармонизма / П. М. Элькин, Е. А. Эрман, О. В. Пулин // Журнал прикладной спектроскопии. – 2009. – Т. 76, № 2. – С. 170–175.
10. Элькин, М. Д. Компьютерное моделирование геометрической структуры и колебательных состояний спиназарина / М. Д. Элькин, Е. А. Джалимхамбетова, И. И. Гордеев // Прикаспийский журнал: управление и высокие технологии. – 2009. – № 3 (7).
11. Якубовская, А. Я. Спиназарин и этилспиназарин – пигменты морского ежа *Scapheshinus mirabilis* / А. Я. Якубовская, Н. Д. Похилло, Н. П. Мищенко, В. Ф. Ануфриев // Известия АН РФ. – 2007. – № 4. – С. 788–791. – (Сер. хим.).
12. Frisch, M. J. GAUSSIAN 03. Revision A.7 / M. J. Frisch, G. W. Trucks, H. B. Schlegel et al. // Pittsburgh (PA) : Gaussian Inc., 2003.
13. Girlando, A. Normal coordinate analysis of fused-ring p-quinones: in plane vibrations of 1,4-naphthoquinone and 9,10-anthraquinone / A. Girlando, D. Ragazzon, C. Pecule // Spectrochim. Acta. – Vol. 36A. – P. 1053–1058.
14. Nonella M. Structures and harmonic force field of 1,4-naphthoquinone and naphthalene: a density functional study // Journal of Molecular structure. – 1996. – Vol. 132. – P. 7–21.
15. Paul, S. O. The Fourier Transform Raman and infrared spectra naphthazarine / S. O. Paul, C. J. H. Schutte, P. J. Hendra // Spectrochimica Acta. – Vol. 46A. – P. 323–329.
16. Stenman, F. On vibrational spectrum 1,4-naphthoquinone / F. Stenman, J. Rasannen // Spectrochimica Acta. – Vol. 29A. – P. 405–410.

УДК 539.193/.194;535/.33/34

МОДЕЛИРОВАНИЕ СТРУКТУРЫ КАРБОНОВЫХ КИСЛОТ. 1. МУРАВЬИНАЯ КИСЛОТА

П.М. Элькин, Т.А. Шальнова, Е.Ю. Степанович

Проведены модельные расчеты колебательных состояний димера муравьиной кислоты. Показано, что при интерпретации колебательных состояний карбоксильного фрагмента следует учитывать ангармонические резонансы. Предложена методика такого учета для карбоновых кислот.

Ключевые слова: димеры, муравьиная кислота, колебательные спектры, ангармонические резонансы, межмолекулярное взаимодействие.

Key words: dimer, formic acid, vibrational spectra, anharmonic resonances, intermolecular interaction.

Несмотря на многочисленные теоретические и экспериментальные исследования геометрической и электронной структуры муравьиной кислоты (*Formic acid*), вопрос об интерпретации колебательных состояний вещества в различных конденсированных состояниях до сих пор остается открытым [2, 3, 5, 6].

Отметим, что такие же проблемы возникают при построении структурно-динамических моделей более сложных представителей данного ряда соединений – карбоновых кислот (X-COOH). В основном это касается интерпретации колебаний карбоксильной группы (COOH). Именно этот фрагмент отвечает за образование димеров с водородной связью. Часть фундаментальных колебаний этого фрагмента меняется при переходе от мономера к димеру, что и фиксирует спектральный эксперимент, осуществленный для газового (ИК-спектры) и жидкого (КР-спектры) состояний вещества [6].